

附錄-A

孔內千斤頂試驗結果



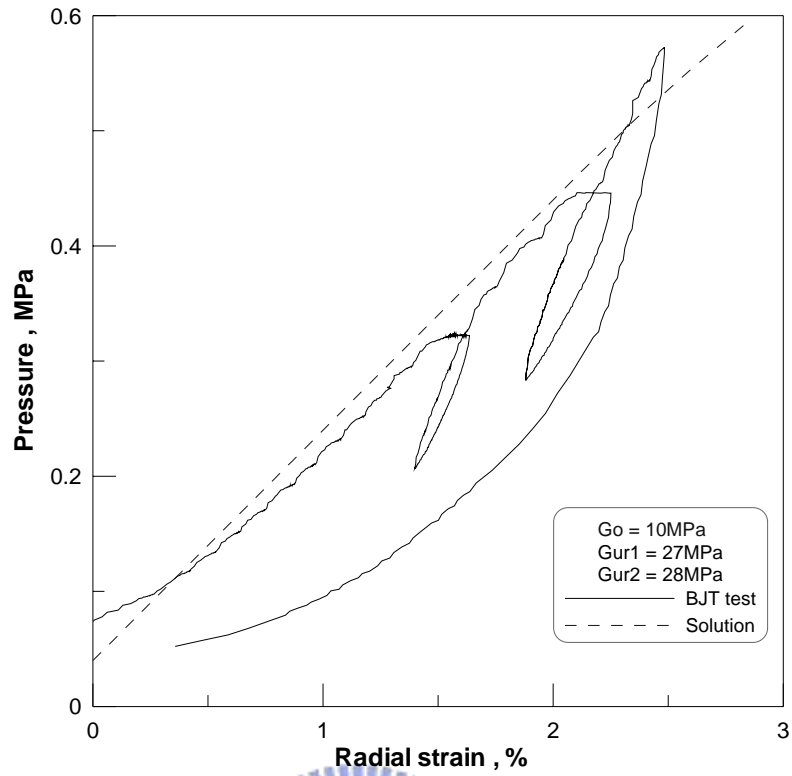


圖 1 編號 0420J 走向方向的應力-應變圖

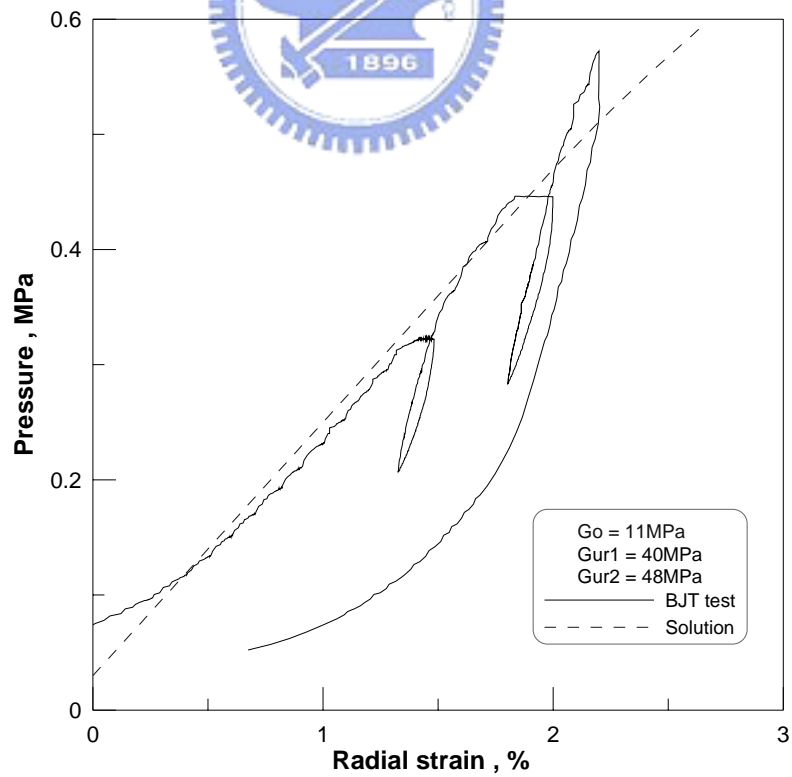


圖 2 編號 0420J 傾向方向的應力-應變圖

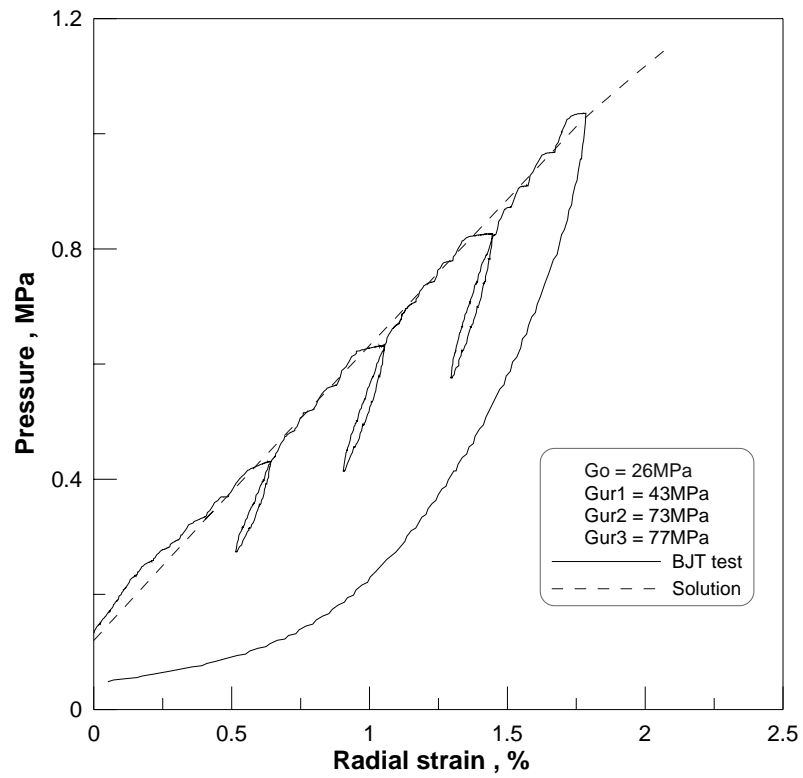


圖 3 編號 0423J 走向方向的應力-應變圖

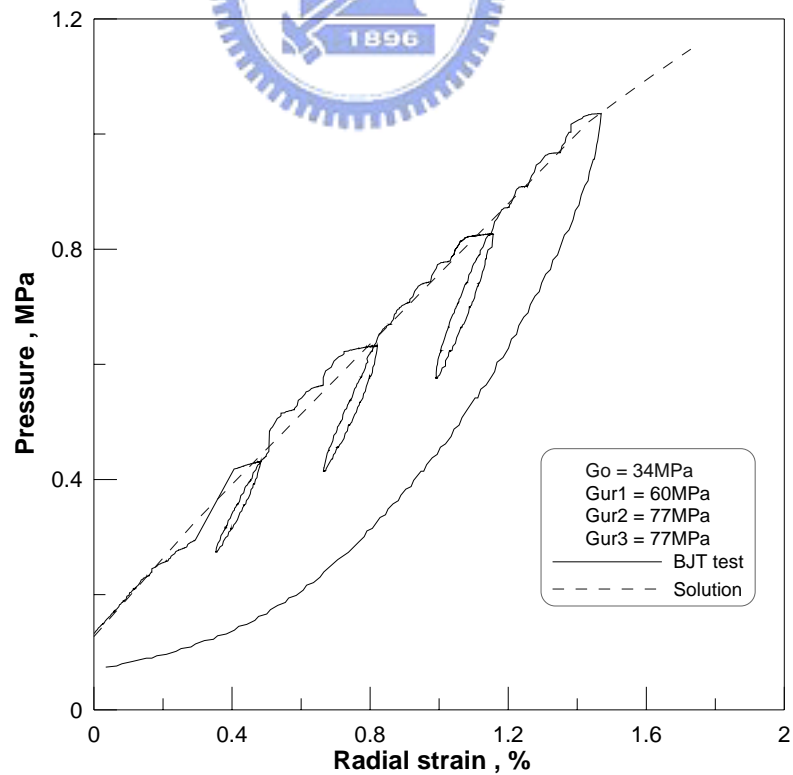


圖 4 編號 0423J 傾向方向的應力-應變圖

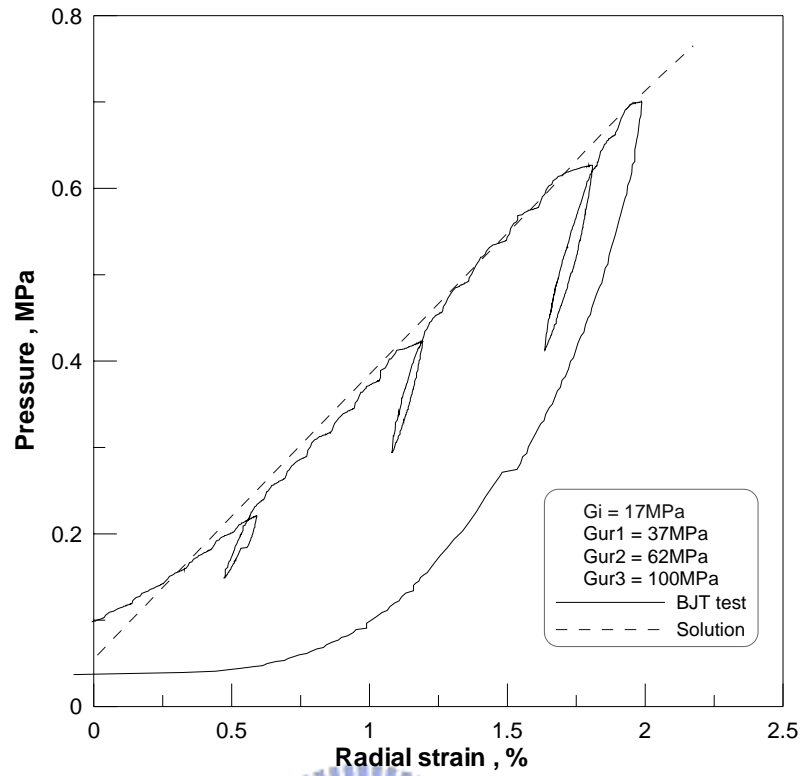


圖 5 編號 0426J 走向方向的應力-應變圖

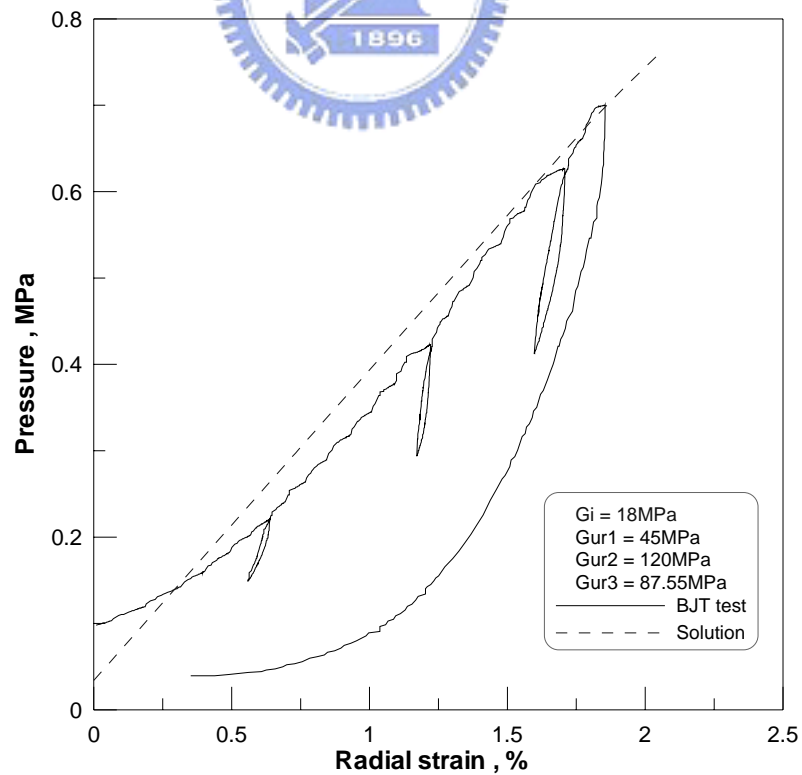


圖 6 編號 0426J 傾向方向的應力-應變圖

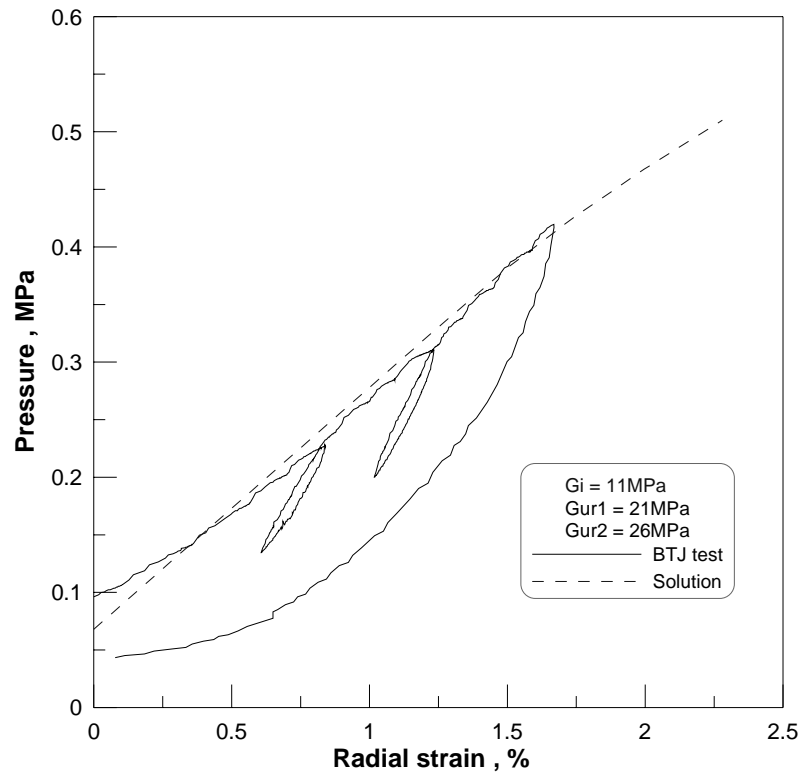


圖 7 編號 0428J 走向方向的應力-應變圖

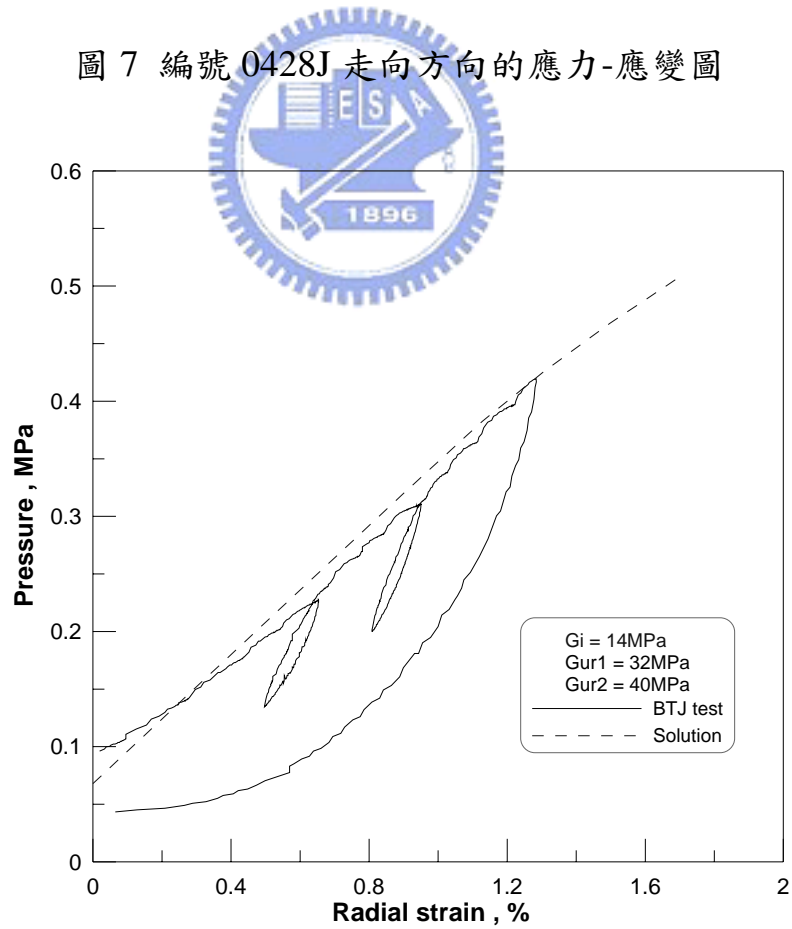


圖 8 編號 0428J 傾向方向的應力-應變圖

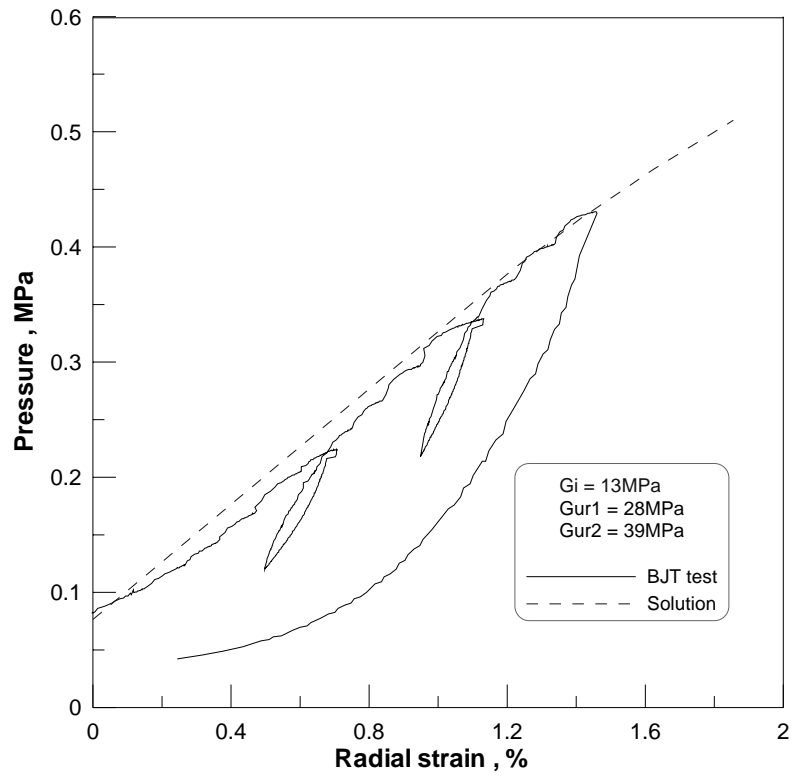


圖 9 編號 0429J 走向方向的應力-應變圖

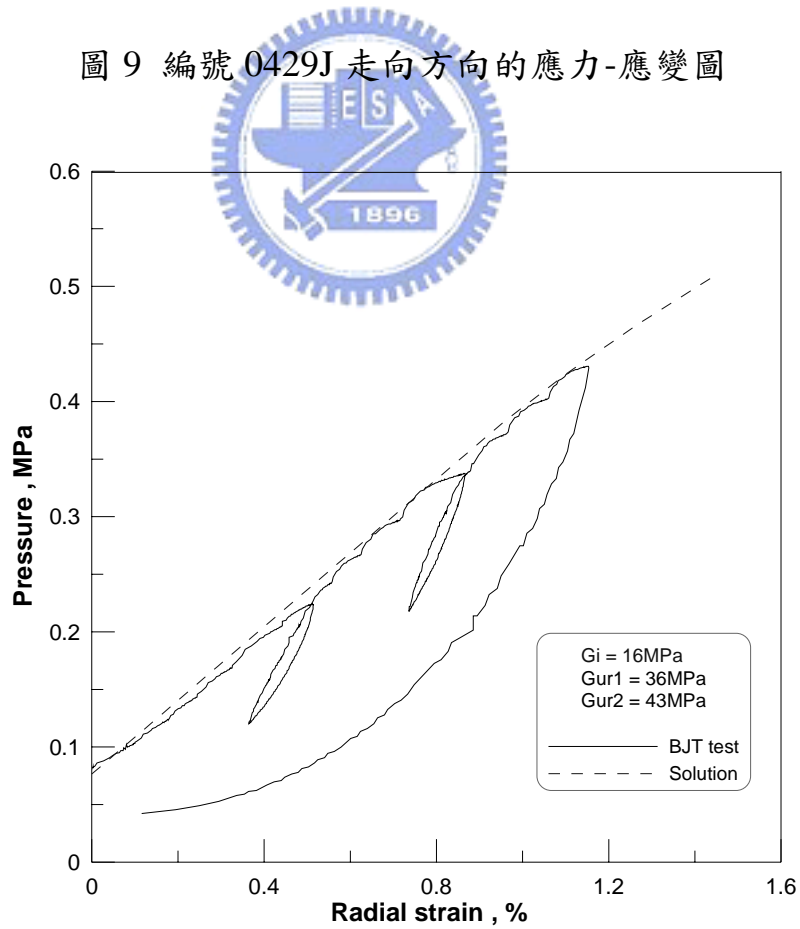


圖 10 編號 0429J 傾向方向的應力-應變圖

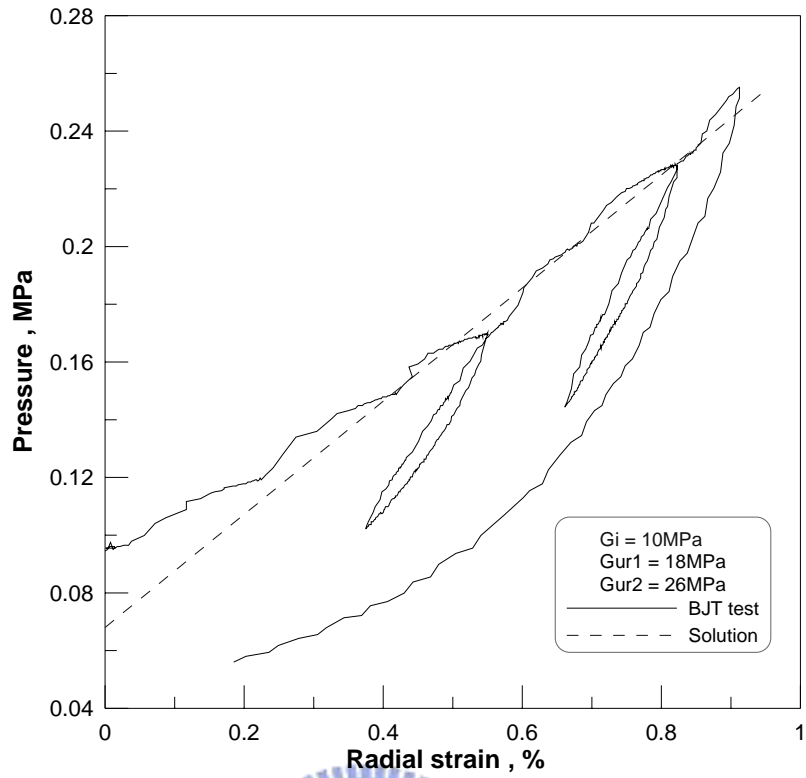


圖 11 編號 0430J 走向方向的應力-應變圖

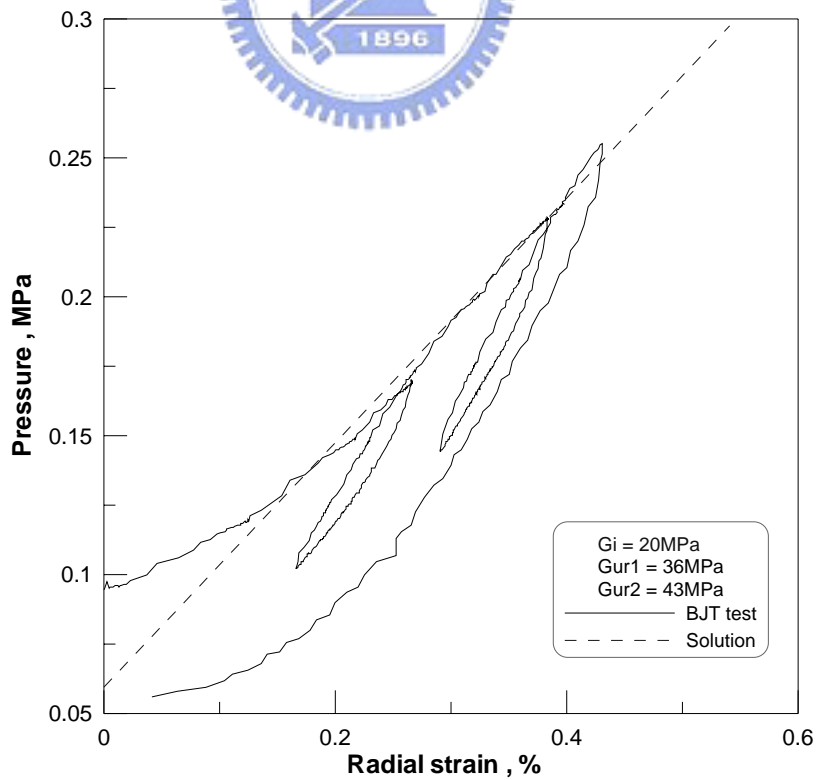


圖 12 編號 0430J 傾向方向的應力-應變圖

附錄-B

鑽孔剪力與孔底平板載重試驗結果



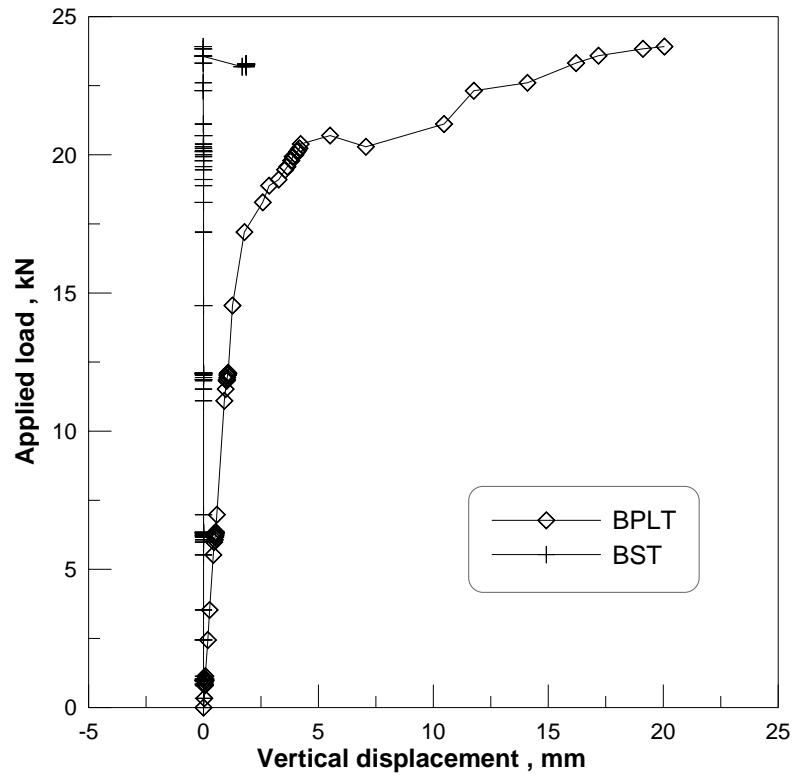


圖 13 編號 0423P-1 與 0423S-1 荷重與位移關係

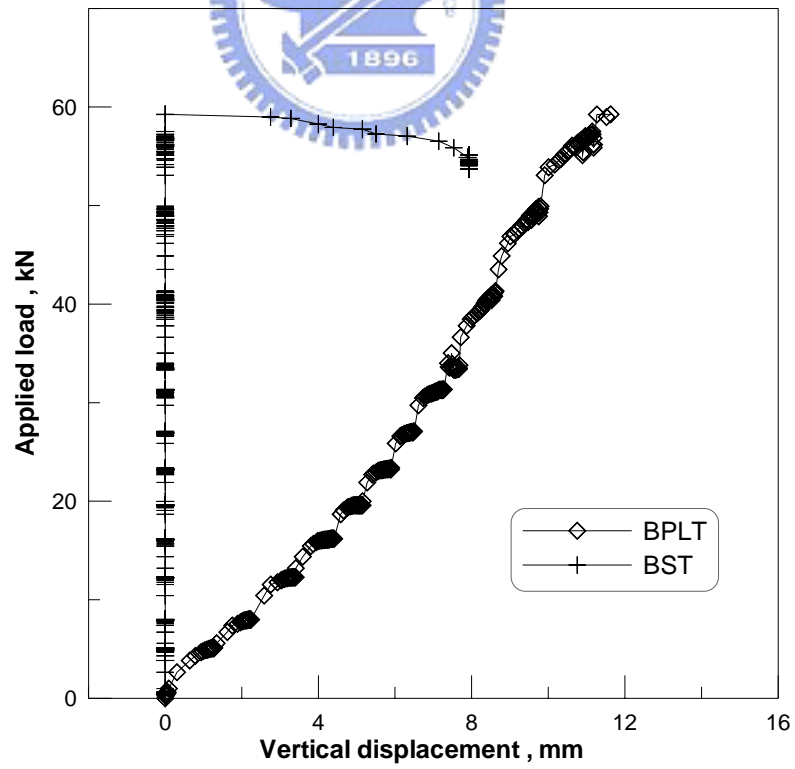


圖 14 編號 0423P-2 與 0423S-2 荷重與位移關係

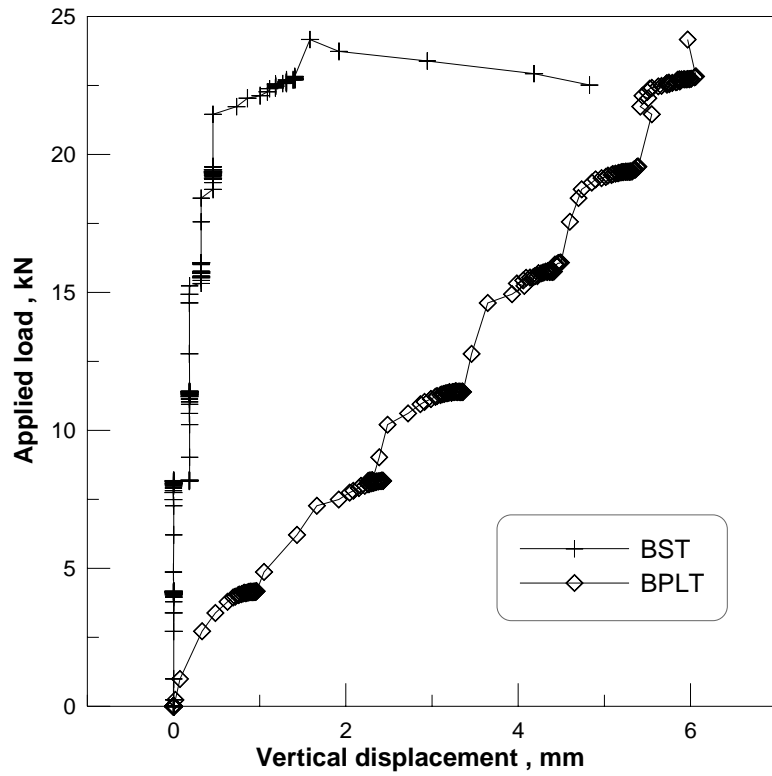


圖 15 編號 0426P-1 與 0426S-1 荷重與位移關係

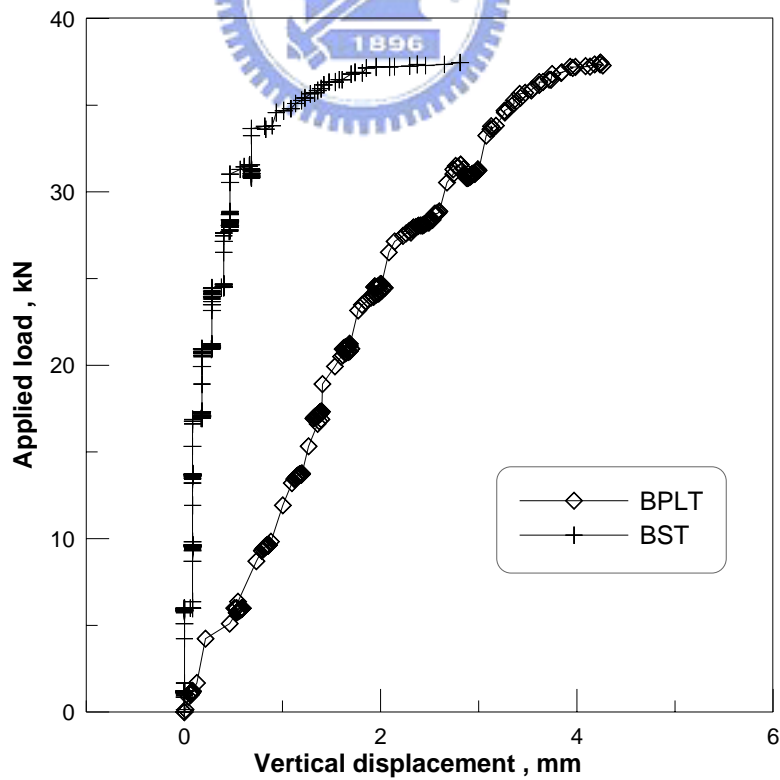


圖 16 編號 0426P-2 與 0426S-2 荷重與位移關係

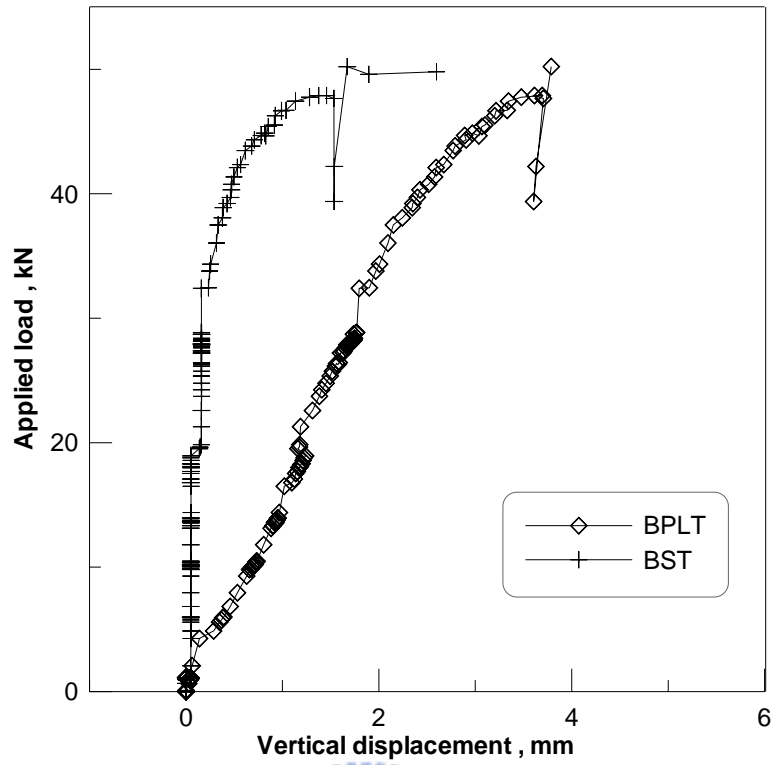


圖 17 編號 0426P-3 與 0426S-3 荷重與位移關係

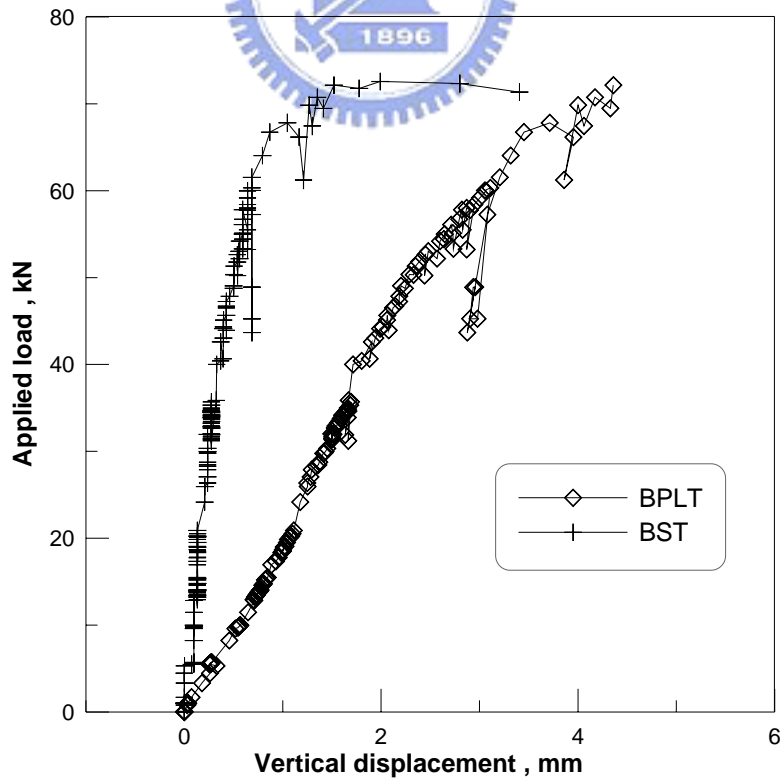


圖 18 編號 0426P-4 與 0426S-4 荷重與位移關係

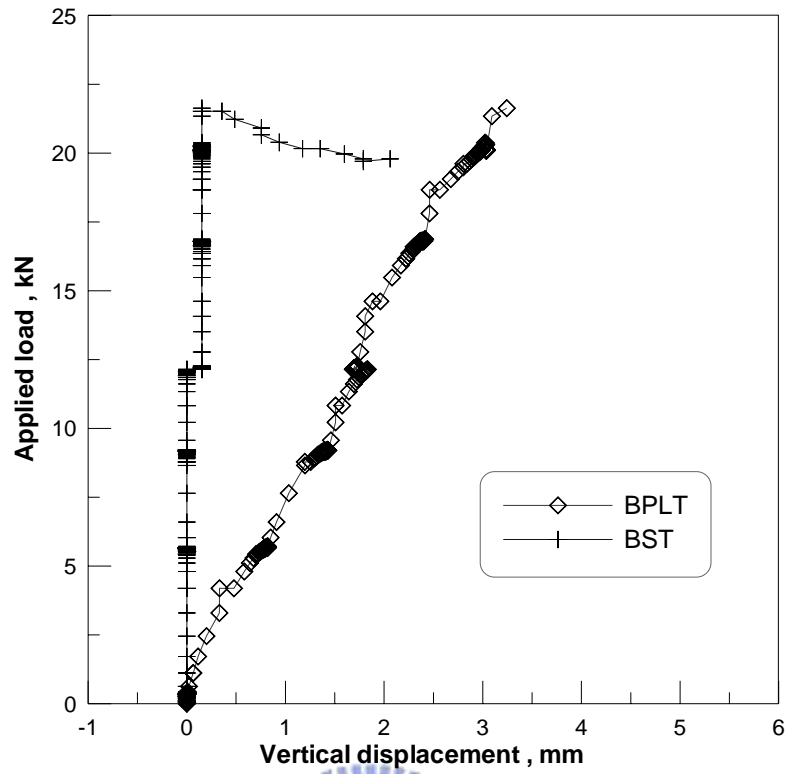


圖 19 編號 0428P-1 與 0428S-1 荷重與位移關係

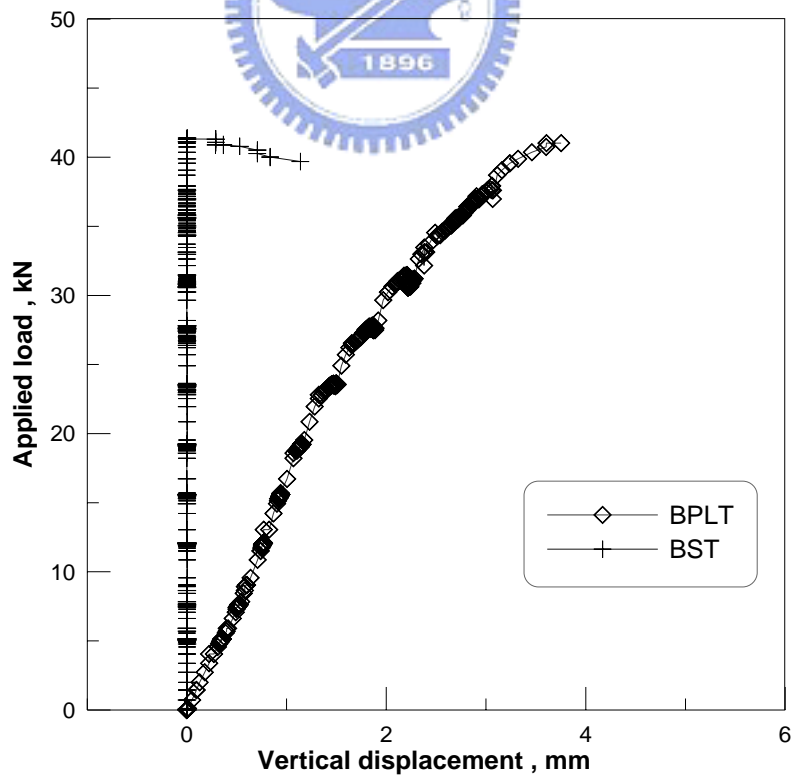


圖 20 編號 0428P-2 與 0428S-2 荷重與位移關係

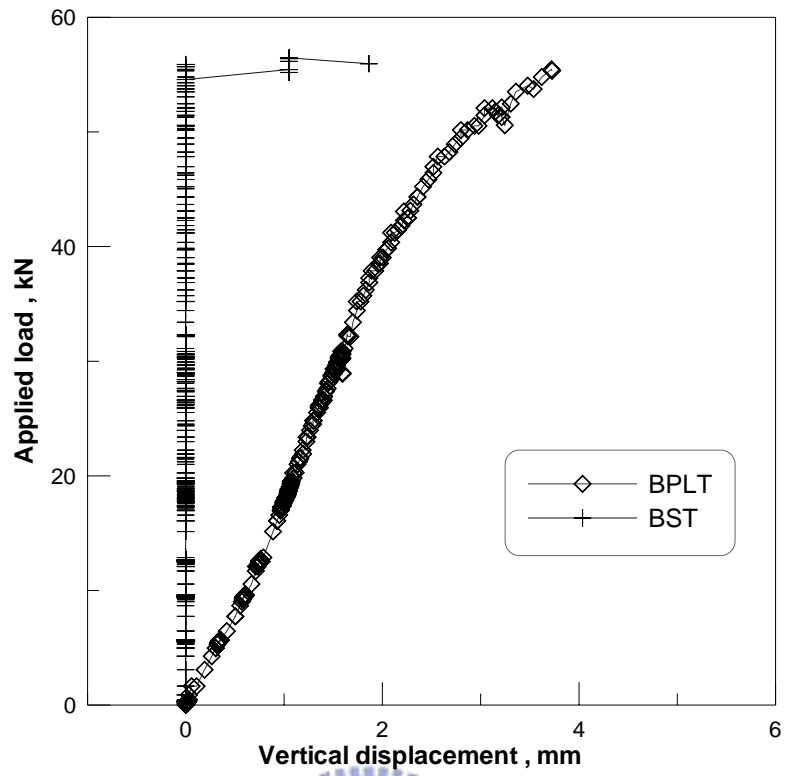


圖 21 編號 0428P-3 與 0428S-3 荷重與位移關係

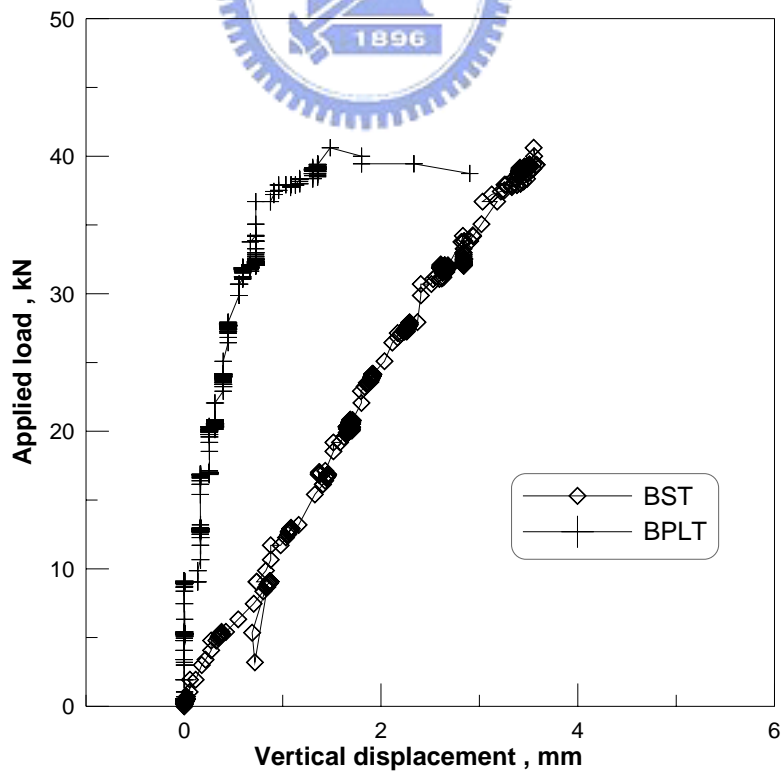


圖 22 編號 0429P-1 與 0429S-1 荷重與位移關係

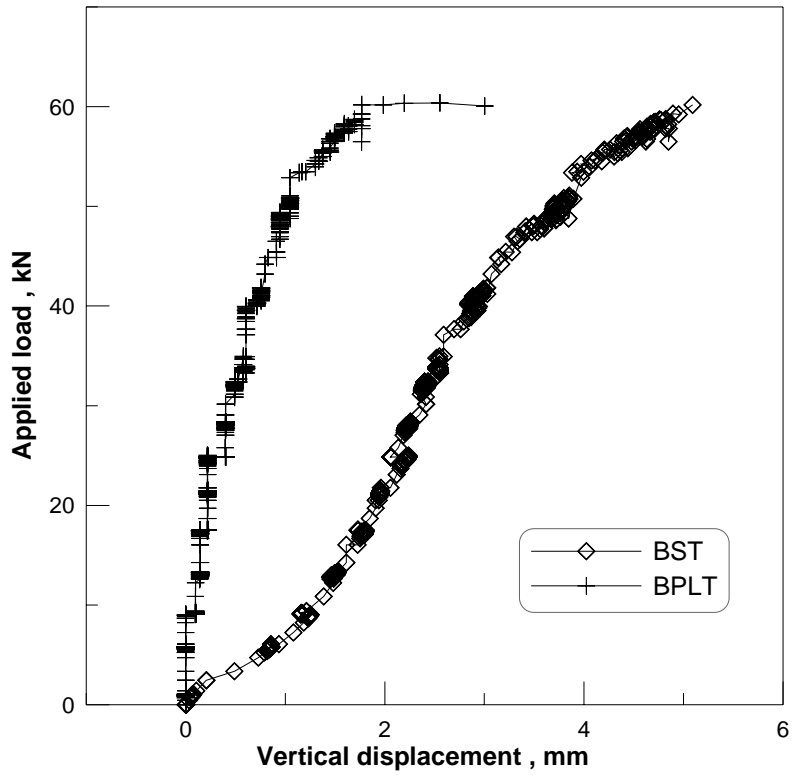


圖 23 編號 0429P-2 與 0429S-2 荷重與位移關係

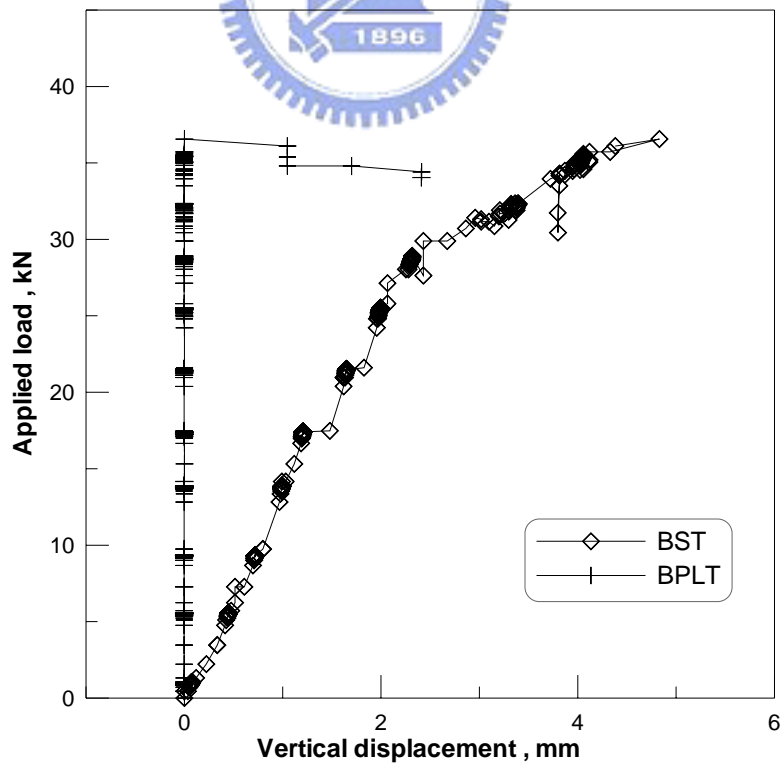


圖 24 編號 0430P-1 與 0430S-1 荷重與位移關係

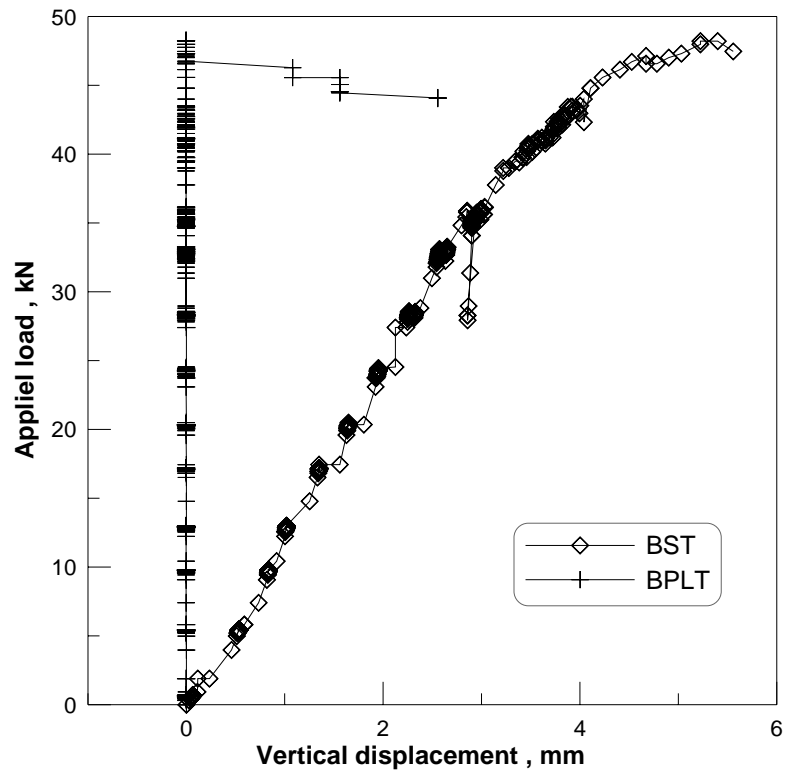


圖 25 編號 0430P-2 與 0430S-2 荷重與位移關係

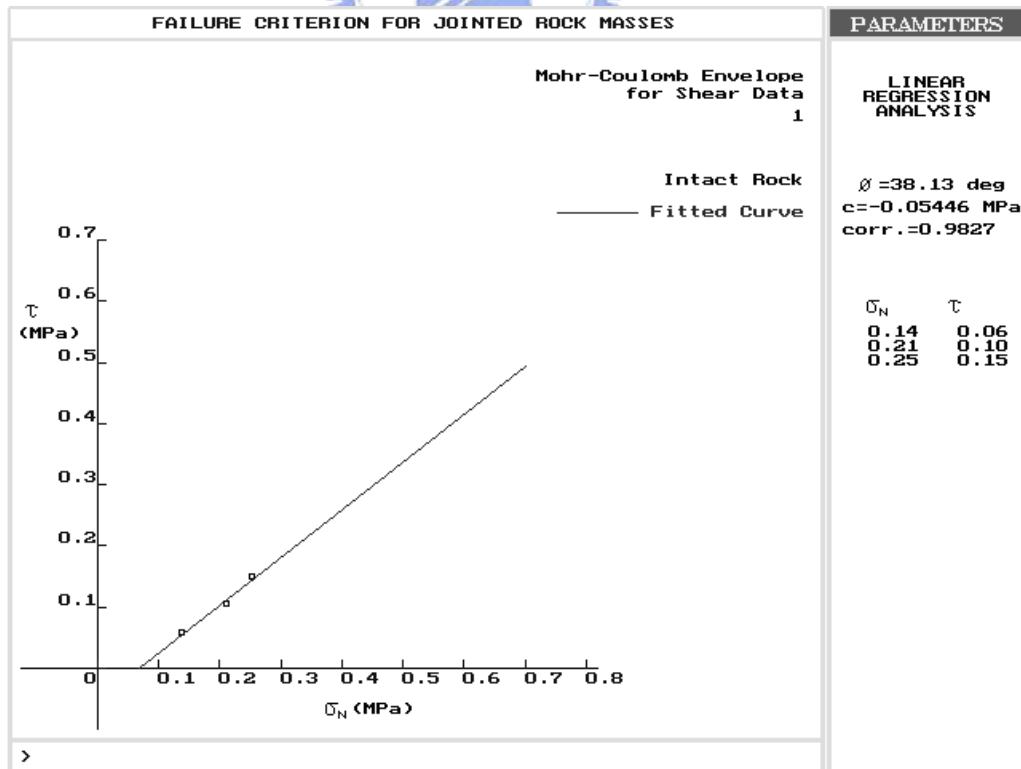


圖 26 編號 0423S 的破壞包絡線

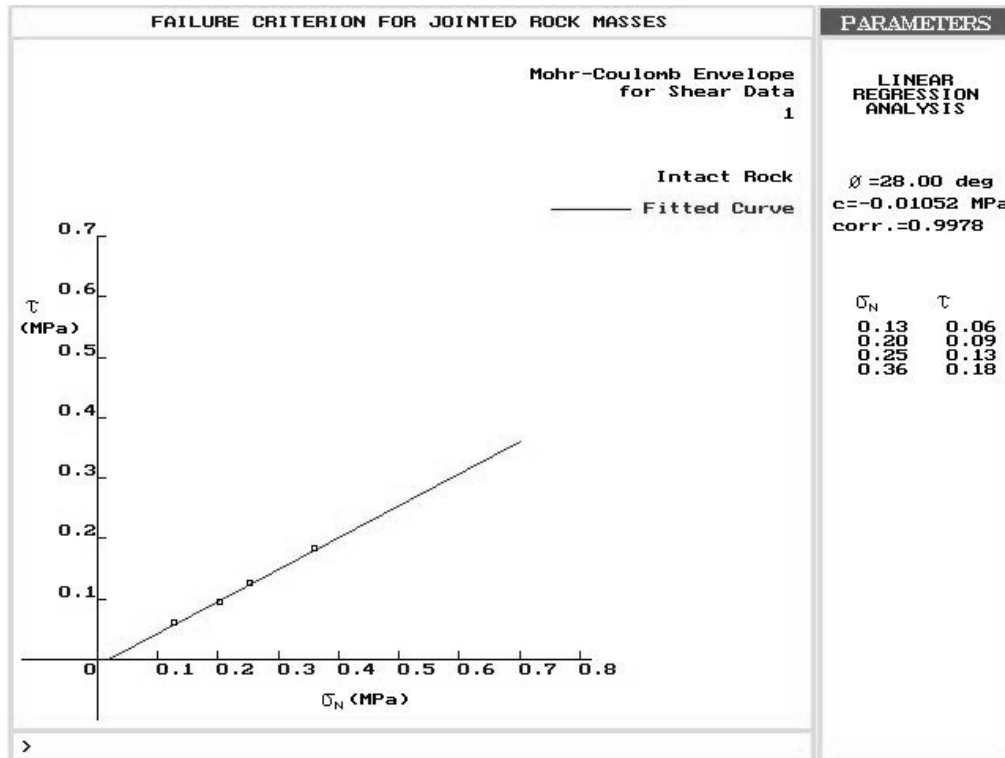


圖 27 編號 0426S 的破壞包絡線

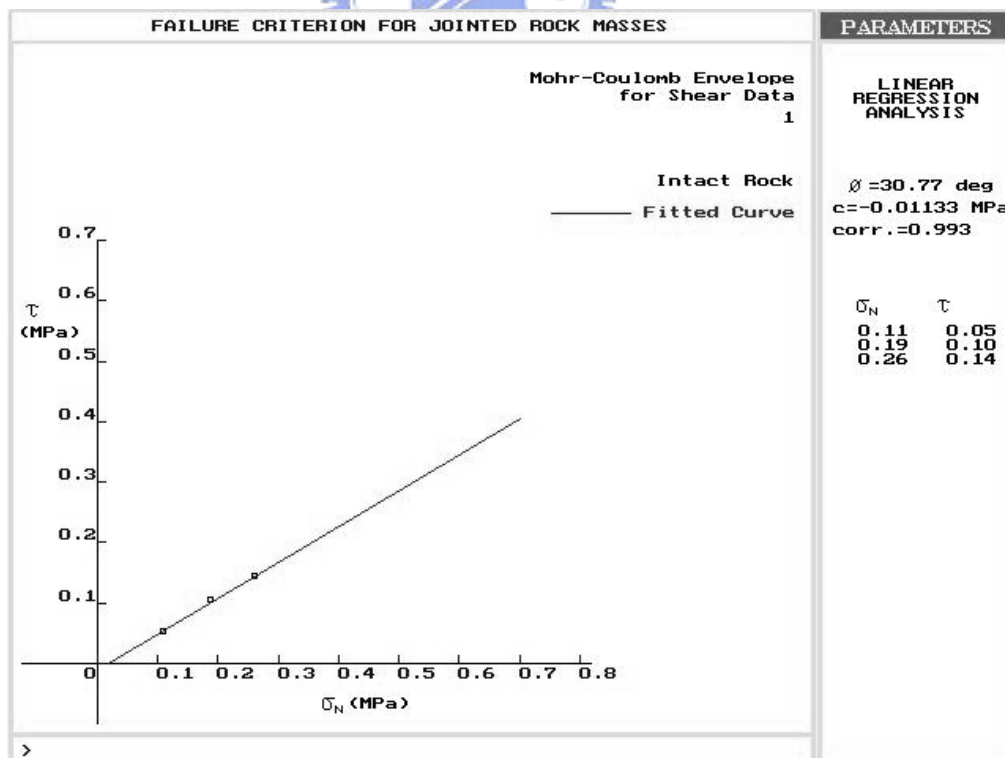


圖 28 編號 0428S 的破壞包絡線

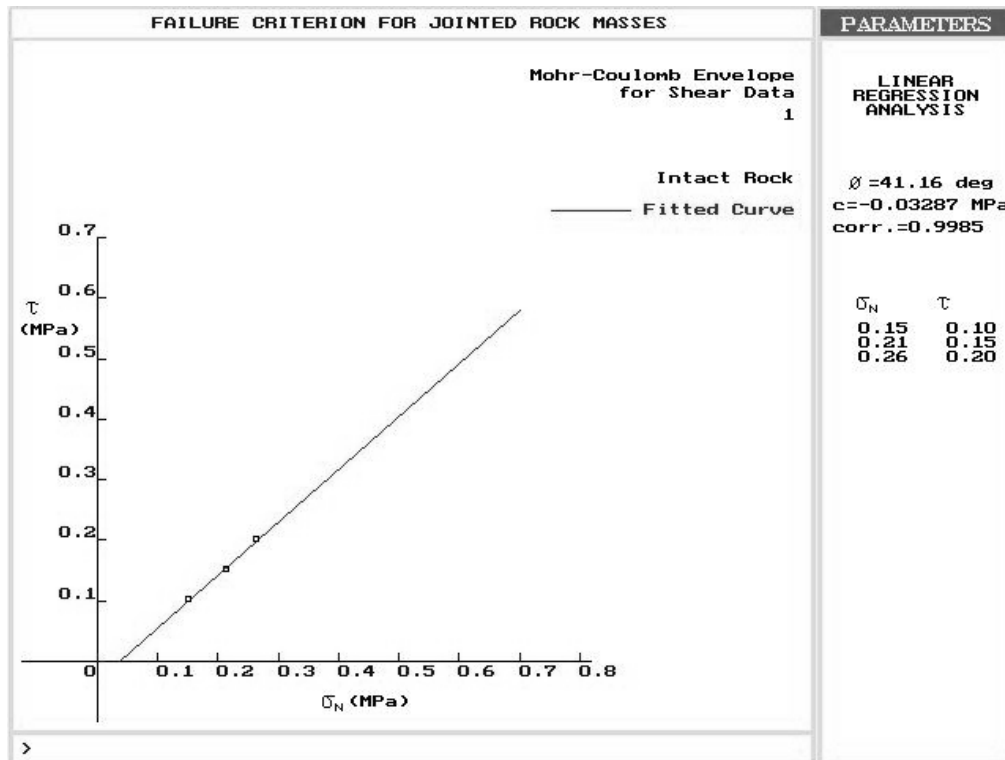


圖 29 編號 0429S 的破壞包絡線

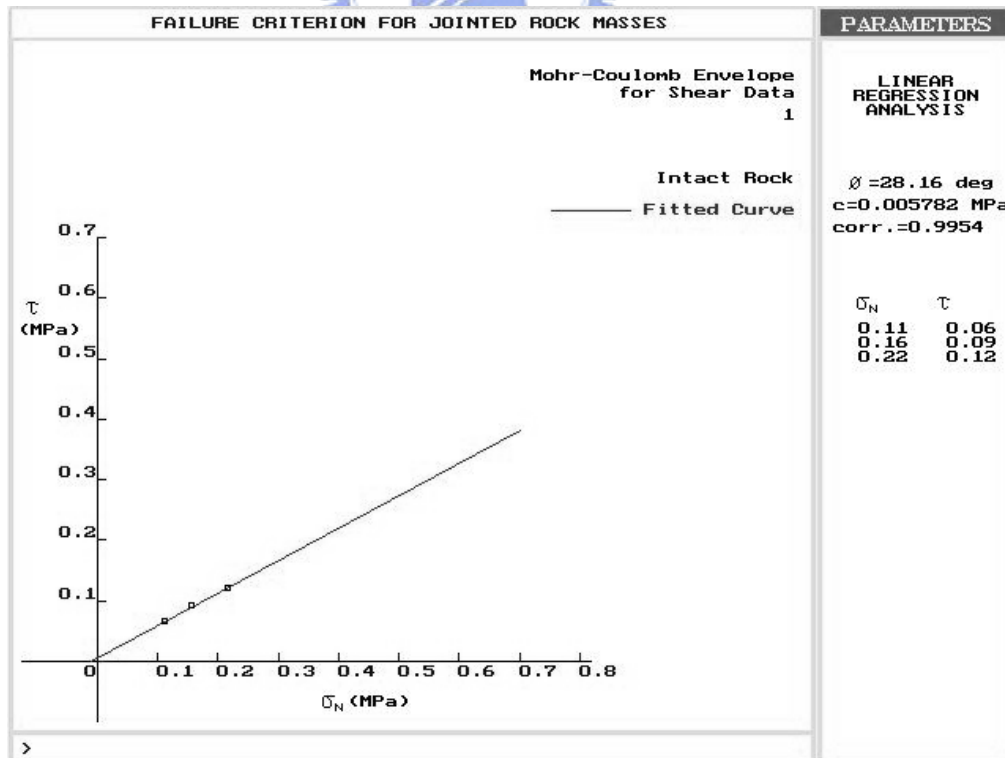


圖 30 編號 0430S 的破壞包絡線